



UNIVERSITÄTS-
BIBLIOTHEK
PADERBORN

Die Statik der Hochbau-Constructionen

Landsberg, Theodor

Stuttgart, 1899

a) Kuppeldächer

[urn:nbn:de:hbz:466:1-77733](https://nbn-resolving.org/urn:nbn:de:hbz:466:1-77733)

5. Kapitel.

Kuppel-, Zelt- und Thurmdächer.

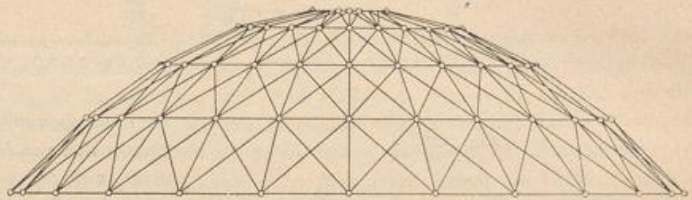
a) Kuppeldächer.

240.
Allgemeines.

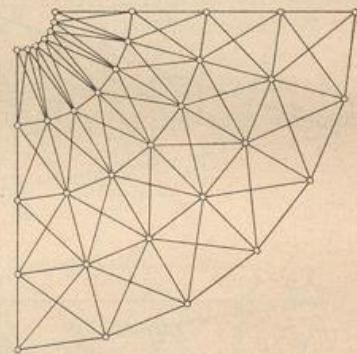
Die Kuppelfläche entsteht durch Drehung einer Curve um eine lothrechte Mittelaxe; sie ist also eine Umdrehungsfläche.

Während man früher die Kuppeldächer aus einer Anzahl radial gestellter Binder construirte, sind bei den neueren, von *Schwedler* erfundenen und vielfach mit bestem Erfolg ausgeführten Kuppeldächern sämmtliche Constructionstheile in die Kuppelfläche verlegt. Eine Anzahl von Sparren wird in der Richtung der Meridiane der Kuppelfläche angeordnet

Fig. 328.



und in verschiedenen Höhen durch wagrechte Ringe mit einander verbunden; letztere sind den Parallelkreisen der Kuppelfläche eingeschriebene Vielecke. In den so entstehenden Vierecken sind alsdann, wegen der ungleichmäßigen Belastung, noch Diagonalen angeordnet, und zwar meistens gekreuzte Zugdiagonalen. Gewöhnlich ist eine Belastung der Kuppelmitte durch eine fog. Laterne vorhanden. Die ganze Construction bildet demnach ein der Kuppelfläche eingeschriebenes Polyeder; in Fig. 328 sind Ansicht und Grundriß derselben dargestellt (letzterer nur für ein Viertel der Kuppel). Man nennt solche Kuppeln *Schwedler'sche* oder Flechtwerkkuppeln.



Die von *Schwedler*³⁵⁾ angegebene Berechnungsweise dieser Kuppeln kann nur als eine Annäherungsrechnung betrachtet werden: sie legt nur lothrechte Lasten und der Hauptfläche nach gleichförmig vertheilte Belastung ganzer oder halber Ringzonen zu Grunde. Bei diesen Annahmen wird die Berechnung sehr einfach, führt aber trotzdem zu Ergebnissen, welche sich in einer großen Zahl ausgeführter Constructionen seit einer längeren Reihe von Jahren vollauf bewährt und allen Kräfteangriffen gewachsen gezeigt haben. Deshalb soll diese Berechnungsweise, welche in den allermeisten Fällen für die Praxis genügt, nachstehend vorgeführt werden (Art. 241 bis 245).

Eine neuere, auf der Theorie des Raumfachwerkes beruhende Berechnungs-

³⁵⁾ In: Die Construction der Kuppeldächer. Zeitschr. f. Bauw. 1866, S. 7.

weise der Flechtwerkkuppeln, und zwar für ganz beliebige Belastungen, ist von Müller-Breslau⁹⁶⁾ aufgestellt worden.

Nach Vorführung der Schwedler'schen Berechnungsweise sollen in Art. 246 bis 249 die Grundlagen derjenigen von Müller-Breslau angegeben werden.

1) Berechnungsweise von Schwedler.

a) Belastungen und Auflagerdrücke.

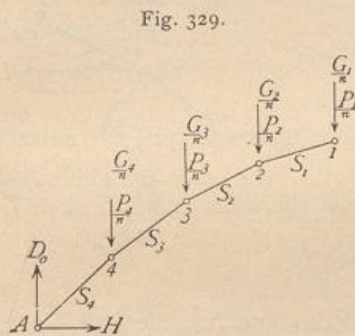
Die hier zu betrachtenden Kuppeln sind so flach, daß der Winddruck nur von geringer Bedeutung ist; derselbe soll deshalb, unter Zugrundelegung einer mittleren Dachneigung, in allen Theilen der Kuppel constant angenommen werden. Hier wird nur die lothrechte Seitenkraft ν (vergl. Art. 30, S. 23) des Winddruckes berücksichtigt; die in die Dachfläche fallende Seitenkraft kann vernachlässigt werden. Endlich ist es empfehlenswerth, alle Belastungen auf das Quadr.-Meter der Grundfläche, also der wagrechten Projection des Daches, zu beziehen.

Die Lasten greifen in den Knotenpunkten der Construction an; demnach sind die auf die einzelnen Knotenpunkte entfallenden Flächen zu berechnen und mit diesen die Belastungen für die Einheit der Grundfläche zu multipliciren.

Wären keine Ringe angeordnet, so würden die einzelnen Sparren schiefe Drücke auf die Auflager ausüben und von diesen erleiden; durch einen Ring, gegen

241.
Belastungen.

242.
Auflager-
drücke.



welchen sich sämtliche Sparrenfüße setzen, den fog. Mauerring oder Fußring, werden die wagrechten Seitenkräfte der in den untersten Sparrenstäben (S_n in Fig. 329) vorhandenen Spannungen aufgehoben, so daß bei den angenommenen Belastungen als Auflagerdrücke nur lothrechte Kräfte wirken. Entsprechend den im folgenden Artikel vorzuführenden Annahmen braucht die Berechnung der Auflagerdrücke nur für Belastungen vorgenommen zu werden, bei welchen ganze Ringzonen belastet sind. Wenn der Grundriß der Kuppel ein regelmäßiges n -Eck ist, und demnach n Sparren vorhanden sind, so kann angenommen werden, daß bei den erwähnten Belastungen alle Sparren gleiche Lasten tragen. Die Kuppel trage eine Laterne, deren Gewicht im Eigengewicht der ersten Ringzone mit enthalten sei. Die Eigengewichte der ganzen Ringzonen seien bezw. (Fig. 329) $G_1, G_2, G_3, G_4 \dots$ und die zufälligen Lasten der ganzen Ringzonen $P_1, P_2, P_3, P_4 \dots$; alsdann ist, wenn der Stützendruck auf jeden Sparren D_0 beträgt, für volle Belastung der ganzen Dachfläche

$$nD_0 = G_1 + G_2 + G_3 + G_4 + \dots + P_1 + P_2 + P_3 + P_4 + \dots = \Sigma(G) + \Sigma(P).$$

Wenn etwa nur die drei obersten Zonen voll belastet sind, so wird

$$nD_0' = G_1 + G_2 + G_3 + G_4 + \dots + P_1 + P_2 + P_3$$

sein. Auf diese Art sind die Auflagerdrücke leicht zu ermitteln.

⁹⁶⁾ In: Beitrag zur Theorie des räumlichen Fachwerks. Centralbl. d. Bauverw. 1892, S. 207. (Auch als Sonderabdruck erschienen.) — Vergl. auch:

KOFAHL. Beitrag zur Theorie der Kuppeldächer. Zeitschr. d. Ver. deutsch. Ing. 1896, S. 1131; 1898, S. 713.

HÜBNER. Bemerkungen über das räumliche Fachwerk. Ebendaf. 1897, S. 477, 632, 634.

MÜLLER-BRESLAU, H. Beitrag zur Theorie der Kuppel- und Thurmdächer etc. Ebendaf. 1898, S. 1205, 1233.

β) Stabspannungen.

243.
Berechnung
der Stab-
spannungen.

2) Ungünstigste Beanspruchung der einzelnen Stäbe. Es sollen, nach *Schwedler*, für die Grenzen der Spannungen die folgenden vereinfachenden Annahmen gemacht werden:

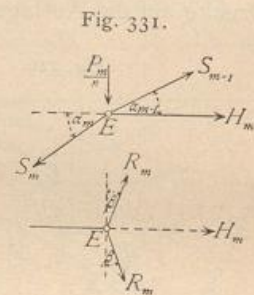
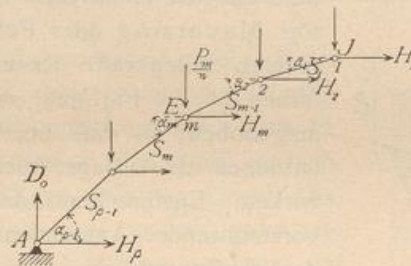
a) die Sparren erhalten den größten Druck, wenn die ganze Kuppel voll belastet ist;

b) ein Ring erhält seinen größten Zug, wenn der innerhalb desselben befindliche Kuppeltheil voll belastet, der Ring selbst mit seiner Zone aber unbelastet ist; bei der entgegengesetzten Belastungsart treten die entgegengesetzten Grenzen ein;

c) die Diagonalen zwischen zwei Sparren erhalten ihren größten Zug, wenn die halbe Kuppel auf einer Seite des durch die Mitte der Diagonalen gehenden Durchmessers voll, die andere halbe Kuppel nur durch das Eigengewicht belastet ist.

3) Spannungen in den Sparren. Wir betrachten nur zwei Belastungsarten, nämlich die Belastung der ganzen Kuppel durch zufällige Last und die Belastung der Kuppel durch Eigengewicht. Die zweite Belastungsart ergibt die Minimalspannungen. Die Maximalspannungen der Sparren sind die Summen der bei den beiden angeführten Belastungsarten sich ergebenden Spannungen. Die Formeln für beide Belastungsarten unterscheiden sich nur durch die Größe der Lasten.

Was zunächst die zufällige Belastung betrifft, so sind im m -ten Knotenpunkte (vom Laternenringe an gerechnet) in E (Fig. 330 u. 331) folgende



Kräfte im Gleichgewicht: die Spannungen der Sparren S_{m-1} und S_m , die Last $\frac{1}{n} P_m$, endlich die beiden Ringspannungen R_m . Letztere sind einander, der Symmetrie wegen, gleich und haben in der wagrechten Ebene des m -ten Ringes die Mittelkraft H_m . Die algebraische Summe der lothrechten Kräfte für den Punkt E ist gleich Null; mithin

$$0 = \frac{1}{n} P_m + S_m \sin \alpha_m - S_{m-1} \sin \alpha_{m-1},$$

woraus

$$S_m = \frac{S_{m-1} \sin \alpha_{m-1}}{\sin \alpha_m} - \frac{1}{n} \frac{P_m}{\sin \alpha_m}.$$

Für den ersten Knotenpunkt, den Knotenpunkt am Laternenringe, für \mathcal{F} , ist $S_{m-1} = 0$; mithin folgt der Reihe nach für $m = 1, 2, 3 \dots$

$$S_1 = -\frac{1}{n} \frac{P_1}{\sin \alpha_1}; \quad S_2 = -\frac{1}{n} \frac{P_1 \sin \alpha_1}{\sin \alpha_1 \sin \alpha_2} - \frac{1}{n} \frac{P_2}{\sin \alpha_2} = -\frac{P_1 + P_2}{n \sin \alpha_2};$$

$$S_3 = -\frac{P_1 + P_2}{n \sin \alpha_2} \frac{\sin \alpha_2}{\sin \alpha_3} - \frac{1}{n} \frac{P_3}{\sin \alpha_3} = -\frac{P_1 + P_2 + P_3}{n \sin \alpha_3};$$

oder allgemein

$$S_m = - \frac{1}{n \sin \alpha_m} \sum_1^m (P) \dots \dots \dots 334.$$

Eben so ergibt sich die Spannung in den Sparren für eine Belaftung durch das Eigengewicht zu

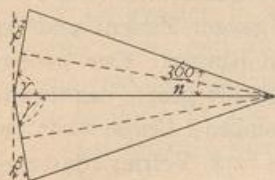
$$S_1' = - \frac{G_1}{n \sin \alpha_1}; S_2' = - \frac{(G_1 + G_2)}{n \sin \alpha_2}; \dots S_m' = - \frac{\sum_1^m (G)}{n \sin \alpha_m} \dots 335.$$

© Spannungen in den Ringen. Die Gleichgewichtsbedingung, nach welcher die algebraische Summe der wagrechten Kräfte im Punkte *E* gleich Null ist, lautet (Fig. 331):

$$0 = H_m + S_{m-1} \cos \alpha_{m-1} - S_m \cos \alpha_m, \text{ woraus } H_m = S_m \cos \alpha_m - S_{m-1} \cos \alpha_{m-1}.$$

Da *H_m* die Mittelkraft der beiden Ringspannungen *R_m* ist, so ergibt sich $H_m = 2 R_m \sin \beta$, woraus $R_m = \frac{H_m}{2 \sin \beta}$. Nun ist (Fig. 332) $\beta = \frac{360^\circ}{2n} = \frac{\pi}{n}$,

Fig. 332.



sonach $R_m = \frac{H_m}{2 \sin \frac{\pi}{n}}$. Wird in diese Gleichung der

für *H_m* gefundene Werth eingesetzt, so folgt

$$R_m = \frac{S_m \cos \alpha_m - S_{m-1} \cos \alpha_{m-1}}{2 \sin \frac{\pi}{n}} \dots 336.$$

Wir bestimmen nach Gleichung 336 die Ringspannung durch das Eigengewicht und die Maximal- und Minimal-Ringspannung durch zufällige Belaftung.

Durch das Eigengewicht wird

$$R_m^g = \frac{\frac{\sum_1^m (G) \cos \alpha_m}{n \sin \alpha_m} + \frac{\sum_1^{m-1} (G) \cos \alpha_{m-1}}{n \sin \alpha_{m-1}}}{2 \sin \frac{\pi}{n}},$$

$$R_m^g = - \frac{\sum_1^m (G) \cotg \alpha_m - \sum_1^{m-1} (G) \cotg \alpha_{m-1}}{2 n \sin \frac{\pi}{n}} \dots \dots \dots 337.$$

Man erhält

für den Laternenring (<i>m</i> = 1): $R_1^g = - \frac{G_1 \cotg \alpha_1}{2 n \sin \frac{\pi}{n}};$	} 338.
für den Ring 2 (<i>m</i> = 2): $R_2^g = - \frac{(G_1 + G_2) \cotg \alpha_2 - G_1 \cotg \alpha_1}{2 n \sin \frac{\pi}{n}};$	
für den Ring 3 (<i>m</i> = 3): $R_3^g = - \frac{(G_1 + G_2 + G_3) \cotg \alpha_3 - (G_1 + G_2) \cotg \alpha_2}{2 n \sin \frac{\pi}{n}};$	
etc.	

Für den Mauerring ist S_m , also das erste Glied im Zähler gleich Null; mithin, wenn für den Auflagerpunkt $m = \rho$ ist,

$$R_\rho^s = \frac{\sum_1^{\rho-1} (G) \cotg \alpha_{\rho-1}}{2n \sin \frac{\pi}{n}} = \frac{(G_1 + G_2 + \dots + G_{\rho-1}) \cotg \alpha_{\rho-1}}{2n \sin \frac{\pi}{n}} \quad \dots \quad 339.$$

Um die durch zufällige Belastung erzeugten Ringspannungen zu ermitteln, setzen wir in die Gleichung 336 die Werthe für S_m und S_{m-1} ein. Es soll $\mathfrak{S}_1^m(P)$ die zwischen den Knotenpunkten 1 und m befindlichen zufälligen Lasten bezeichnen, wobei \mathfrak{S} ausdrückt, dass nicht alle Knotenpunkte 1 — m belastet zu sein brauchen; im Gegensatz dazu soll $\sum_1^m (P)$ andeuten, dass alle Knotenpunkte von 1 bis m belastet sind. Man erhält demnach allgemein für zufällige Belastung aus Gleichung 336

$$R_m = - \frac{\mathfrak{S}_1^m(P) \cotg \alpha_m - \mathfrak{S}_1^{m-1}(P) \cotg \alpha_{m-1}}{2n \sin \frac{\pi}{n}} \quad \dots \quad 340.$$

Diese Gleichung ermöglicht die Feststellung der für die einzelnen Ringe ungünstigsten Belastungen (unter Voraussetzung der Belastung ganzer Zonen) und die Ermittlung der größten Druck- und Zugspannungen in den Ringen. Der größte Druck wird stattfinden, wenn im Zähler das erste Glied möglichst groß, das zweite Glied möglichst klein ist. Jede Belastung eines der Knotenpunkte 1 bis $(m-1)$ hat sowohl ein Wachsen des ersten, wie des zweiten Gliedes zur Folge; da aber $\cotg \alpha_{m-1}$ stets größer ist, als $\cotg \alpha_m$, so wächst das zweite Glied mehr, als das erste, d. h. jede Belastung des Knotenpunktes 1 bis $(m-1)$ verringert den Druck, vergrößert also den Zug. Die Belastung des Knotenpunktes m vergrößert nur das erste Glied, also den Druck. Die Belastung der außerhalb des m -ten Ringes liegenden Ringe ist nach der Gleichung ohne Einfluss auf die Spannung im m -ten Ringe. Daraus folgt, dass in den Stäben eines Ringes (des m -ten) der größte Druck stattfindet, wenn die Knotenpunkte 1 bis $(m-1)$ unbelastet, die zum Ringe gehörigen Knotenpunkte dagegen belastet sind. Da die Belastung der äußeren Ringe ohne Einfluss ist, so kann man sagen: Größter Druck findet statt, wenn der innere Kuppeltheil unbelastet, der äußere Kuppeltheil, einschliesslich des betrachteten Ringes, belastet ist. Daraus folgt dann weiter, dass größter Zug in den Stäben des m -ten Ringes auftritt, wenn nur der innere Kuppeltheil, ausschliesslich der Zone, zu welcher der m -te Ring gehört, belastet ist. Die hier gefundenen Ergebnisse stimmen demnach mit den in Art. 243 (S. 248) gemachten Annahmen über die ungünstigsten Belastungen überein.

Man erhält

$$R_m^{\text{min}} = - \frac{P_m \cotg \alpha_m}{2n \sin \frac{\pi}{n}} \quad \text{und} \quad R_m^{\text{max}} = \frac{\sum_1^{m-1} (P) (\cotg \alpha_{m-1} - \cotg \alpha_m)}{2n \sin \frac{\pi}{n}} \quad \dots \quad 341.$$

Es ergibt sich

$$\left. \begin{aligned} \text{für den Laternenring } (m=1): R_1^{\ell_{min}} &= -\frac{P_1 \cotg \alpha_1}{2n \sin \frac{\pi}{n}} \quad \text{und} \quad R_1^{\ell_{max}} = 0; \\ \text{für } m=2: R_2^{\ell_{min}} &= -\frac{P_2 \cotg \alpha_2}{2n \sin \frac{\pi}{n}} \quad \text{und} \quad R_2^{\ell_{max}} = \frac{P_1 (\cotg \alpha_1 - \cotg \alpha_2)}{2n \sin \frac{\pi}{n}}; \\ \text{für } m=3: R_3^{\ell_{min}} &= -\frac{P_3 \cotg \alpha_3}{2n \sin \frac{\pi}{n}} \quad \text{und} \quad R_3^{\ell_{max}} = \frac{(P_1 + P_2) (\cotg \alpha_2 - \cotg \alpha_3)}{2n \sin \frac{\pi}{n}}, \end{aligned} \right\} 342.$$

etc.

$$\text{für den Mauerring: } R_p^{\ell_{min}} = 0 \quad \text{und} \quad R_p^{\ell_{max}} = \frac{(P_1 + P_2 + \dots + P_{p-1}) \cotg \alpha_{p-1}}{2n \sin \frac{\pi}{n}}. \quad 343.$$

ⓓ) Spannungen in den Diagonalen. Neben dem Durchmesser, welcher für die ungünstigste Diagonalenbelastung die belastete und unbelastete Kuppelhälfte trennt, liegt ein belasteter und ein unbelasteter Sparren. Nehmen wir nun an, daß die Spannung im ersteren so groß ist, als wenn die ganze Kuppel voll belastet wäre, im zweiten so groß, als wenn die ganze Kuppel nur durch das Eigengewicht belastet wäre, und machen wir die im Knotenpunkte anschließende Diagonale stark genug, um den ganzen Spannungsunterschied zu übertragen, so wird dieselbe jedenfalls zu stark, ist also als ausreichend zu betrachten.

Im obersten Sparrenstück sind die größten und kleinsten Druckspannungen bezw.

$$S_{1max} = -\frac{P_1 + G_1}{n \sin \alpha_1} \quad \text{und} \quad S_{1min} = -\frac{G_1}{n \sin \alpha_1}.$$

Die Differenz beider Spannungen ist $\Delta_1 = -\frac{P_1}{n \sin \alpha_1}$. Dieselbe soll durch die Diagonale übertragen werden. Bezeichnet man die wirkliche Länge der Diagonale und des Sparrens bezw. mit d und s , so ist allgemein

$$Y = -\Delta \frac{d}{s};$$

mithin

$$\left. \begin{aligned} Y_1 &= \frac{P_1}{n \sin \alpha_1} \cdot \frac{d_1}{s_1}, & Y_2 &= \frac{P_1 + P_2}{n \sin \alpha_2} \cdot \frac{d_2}{s_2}, \\ Y_3 &= \frac{P_1 + P_2 + P_3}{n \sin \alpha_3} \cdot \frac{d_3}{s_3}, & Y_4 &= \frac{P_1 + P_2 + P_3 + P_4}{n \sin \alpha_4} \cdot \frac{d_4}{s_4}, \end{aligned} \right\} \dots 344.$$

Auf graphischem Wege lassen sich die Spannungen in den einzelnen Stäben einer Kuppel in folgender Weise ermitteln.

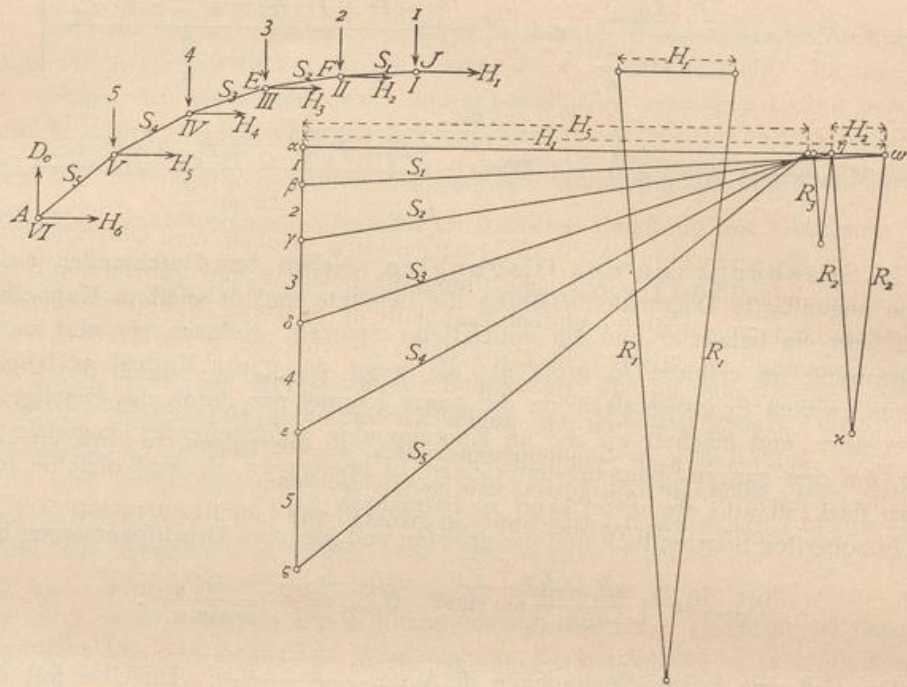
a) Sparrenspannungen durch das Eigengewicht. Die Lasten in den einzelnen Knotenpunkten seien $1, 2, 3, 4, 5$ (Fig. 333); man trage dieselben zu einem Kraftpolygon $\alpha \beta \gamma \delta \varepsilon \zeta$ an einander. Im Knotenpunkte γ wirken 1 , die Sparrenspannung S_1 und die Mittelkraft H_1 der Ringspannungen R_1 . Die Zerlegung der Kraft 1 nach den beiden Richtungen von S_1 und H_1 ergibt $\beta \omega = S_1$, $\omega \alpha = H_1$. Am Knotenpunkt F wirken nun $2, S_1, S_2$ und H_2 ; bekannt sind jetzt 2 und S_1 ; man erhält $\gamma \eta = S_2$, $\eta \omega = H_2$. Eben so ergeben sich die übrigen Sparrenspannungen.

b) Spannungen in den Sparren durch zufällige Belastung. Die Construction ist in gleicher Weise, wie unter a vorzunehmen, nachdem die in den einzelnen Knotenpunkten wirkenden zufälligen Lasten genau wie oben aufgetragen und behandelt sind.

244.
Graphische
Ermittelung
der Stab-
spannungen.

c) Ringspannungen durch das Eigengewicht. Die Zerlegung der für diese Belastung gefundenen Werthe von H ergibt ohne Schwierigkeit die Werthe für R_1^g, R_2^g, \dots , wie in Fig. 333 gezeichnet. Die Construction empfiehlt sich für die vorliegende Ermittlung nicht sehr, weil sie der spitzen Schnittwinkel wegen nur ungenaue Resultate giebt, die Schnittpunkte vielfach nicht mehr auf die Zeichen-

Fig. 333.



fläche fallen. So ist H_1 in Fig. 333 im fünfmal verkleinerten Maßstab aufgetragen, um R_1 zu construieren.

b) Ringspannungen durch zufällige Belastung. Maximalspannung im Ringe II findet statt, wenn nur die Ringzone I belastet ist. Es sei (Fig. 334 a) $ab = \frac{P_1}{n}$; alsdann wird $bf = S_1 = H_1$.

Im Knotenpunkt F (Fig. 335) sind S_1, S_2 und H_2 im Gleichgewicht, d. h. das Kräfte-dreieck für Punkt F wird bgf . Darin ist $H_2 = gf$ und $gi = if = R_2^g \max$.

Im Ringe III ist Maximalspannung, wenn die Zonen zu den Ringen I und II belastet sind; alsdann wirken in F die Kräfte $S_1 = fb, z = bc = \frac{P_2}{n}, S_2'$ und H_2' . Man erhält leicht $H_2' = hf, S_2' = ch$. In E sind dann S_2', S_3 und H_3 im Gleichgewicht und $H_3 = kh$, woraus $R_3^g \max = kl = lh$. Eben so wird $R_4^g \max = on = mo$ etc.

Minimalspannung im Ringe I findet bei voller Kuppelbelastung statt; alsdann wirkt in F die Kraft $i = \frac{P_1}{n}$, und es wird, wenn (Fig. 334 b) $ab = i$ ist, $ia = H_1$. Die Zerlegung in die beiden Ringspannungen ist dann in gleicher Weise wie oben vorzunehmen. Für Ring II findet Minimalspannung bei einer Belastung der Zonen II, III, IV statt; I ist unbelastet; mithin ist S_1 alsdann gleich Null (siehe Gleichung 334). Ist $bc = \frac{P_2}{n} = z$, so wird $hb = H_2$. Eben so wird weiter für die Minimalbelastungen der einzelnen Ringe $H_3 = kc, H_4 = md, H_5 = ne$.

e) Die Construction der Spannungen in den Diagonalen ist so einfach, daß dieselbe nicht weiter gezeigt zu werden braucht.

Fig. 334.

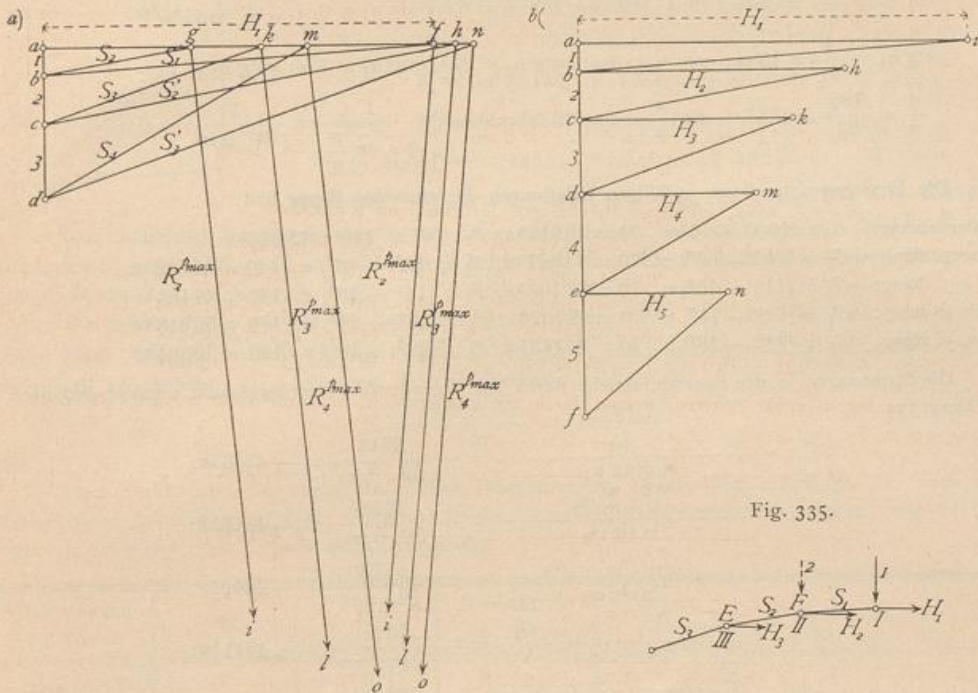
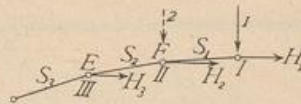


Fig. 335.



Beispiel. Ein Kuppeldach von nachfolgenden Hauptmaßen und Belastungen ist zu konstruieren: Durchmesser des zu überdachenden kreisförmigen Raumes gleich 47 m, demnach der Durchmesser des dem Mauerring umschriebenen Parallelkreises $2L = 48\text{ m}$; Scheitelhöhe der Kuppel $h = 8\text{ m}$; es sind 6 Ringe mit den Halbmessern 4, 8, 12, 16, 20 und 24 m und $n = 32$ Sparren anzuordnen. Das Eigengewicht ist zu 70 kg für 1 qm Grundfläche anzunehmen; als mittlere Dachneigung ist $\frac{h}{2L} = \frac{8}{48} = \frac{1}{6}$ einzuführen, und es ergibt sich hieraus nach Art. 28 (S. 21 ff.) als Belastung durch Schnee für 1 qm Grundfläche

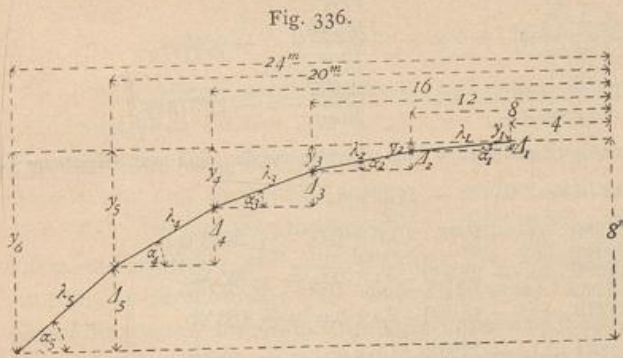
245.
Beispiel.

durch Schnee für 1 qm Grundfläche 75 kg , als Belastung durch Winddruck (siehe Art. 30, S. 23) für 1 qm Grundfläche $v = 64\text{ kg}$, so dass die gesammte zufällige Belastung für 1 qm Grundfläche abgerundet 140 kg beträgt; die Laterne wiegt 2000 kg .

Die Kuppelfläche sei durch Umdrehung einer cubischen Parabel der Gleichung

$$y = \frac{hx^3}{r^3} = \frac{8}{24^3} x^3 = 0,00038 x^3$$

entstanden. Man erhält für die verschiedenen, durch die Ringe vorgeschriebenen Eckpunkte des Vieleckes (Fig. 336):



$x =$	4	8	12	16	20	24 m
$y =$	0,04	0,30	1,00	2,38	4,64	8,0
$h - y = z =$	7,96	7,70	7,00	5,62	3,36	0

Ferner ist

$$\Delta_1 = y_2 - y_1 = 0,26\text{ m}; \Delta_2 = y_3 - y_2 = 0,7\text{ m}; \Delta_3 = y_4 - y_3 = 1,38\text{ m}; \Delta_4 = y_5 - y_4 = 2,26\text{ m}; \Delta_5 = y_6 - y_5 = 3,36\text{ m}.$$

$$\lambda_1 = \sqrt{4^2 + \Delta_1^2} = 4,01 \text{ m}; \lambda_2 = 4,06 \text{ m}; \lambda_3 = 4,23 \text{ m}; \lambda_4 = 4,59 \text{ m}; \lambda_5 = 5,22 \text{ m}.$$

$$\sin \alpha_1 = \frac{\Delta_1}{\lambda_1} = 0,0648; \sin \alpha_2 = 0,1724; \sin \alpha_3 = 0,32; \sin \alpha_4 = 0,492; \sin \alpha_5 = 0,644.$$

$$\cotg \alpha_1 = \frac{4}{\Delta_1} = 15,38; \cotg \alpha_2 = 5,7; \cotg \alpha_3 = 2,9; \cotg \alpha_4 = 1,77; \cotg \alpha_5 = 1,19.$$

$$\frac{\pi}{n} = \frac{180}{32} = 5^{\circ}37,5'; \sin \frac{\pi}{n} = \sin 5^{\circ}37,5' = 0,098; \frac{1}{2n \sin \frac{\pi}{n}} = \frac{1}{64 \cdot 0,098} = 0,16.$$

Die Eigengewichte, bzw. zufälligen Belastungen der einzelnen Ringe sind:

Laternenring: $G_1 = 2000 + 6^2 \pi \cdot 70 = 9913 \text{ kg}, P_1 = 6^2 \pi \cdot 140 = 15826 \text{ kg};$
 2. Ring: $G_2 = (10^2 - 6^2) \pi \cdot 70 = 14067 \text{ kg}, P_2 = (10^2 - 6^2) \pi \cdot 140 = 28122 \text{ kg};$
 3. Ring: $G_3 = (14^2 - 10^2) \pi \cdot 70 = 21100 \text{ kg}, P_3 = (14^2 - 10^2) \pi \cdot 140 = 42186 \text{ kg};$
 4. Ring: $G_4 = (18^2 - 14^2) \pi \cdot 70 = 28133 \text{ kg}, P_4 = (18^2 - 14^2) \pi \cdot 140 = 56243 \text{ kg};$
 5. Ring: $G_5 = (22^2 - 18^2) \pi \cdot 70 = 35168 \text{ kg}, P_5 = (22^2 - 18^2) \pi \cdot 140 = 70304 \text{ kg}.$

Die Spannungen in den Sparren, welche durch das Eigengewicht hervorgebracht werden, sind nach Gleichung 335:

$$S_1^g = - \frac{G_1}{n \sin \alpha_1} = - \frac{9913}{32 \cdot 0,065} = - 4766 \text{ kg};$$

$$S_2^g = - \frac{G_1 + G_2}{n \sin \alpha_2} = - \frac{23980}{32 \cdot 0,1724} = - 4346 \text{ kg};$$

$$S_3^g = - \frac{G_1 + G_2 + G_3}{n \sin \alpha_3} = - \frac{45080}{32 \cdot 0,32} = - 4402 \text{ kg};$$

$$S_4^g = - \frac{G_1 + G_2 + G_3 + G_4}{n \sin \alpha_4} = - \frac{73213}{32 \cdot 0,492} = - 4651 \text{ kg};$$

$$S_5^g = - \frac{G_1 + G_2 + G_3 + G_4 + G_5}{n \sin \alpha_5} = - \frac{108381}{32 \cdot 0,644} = - 5258 \text{ kg}.$$

Die durch zufällige Belastung erzeugten Sparrenspannungen betragen:

$$S_1^p = - \frac{P_1}{n \sin \alpha_1} = - \frac{15826}{2,08} = - 7608 \text{ kg};$$

$$S_2^p = - \frac{P_1 + P_2}{n \sin \alpha_2} = - \frac{43948}{5,517} = - 7966 \text{ kg};$$

$$S_3^p = - \frac{P_1 + P_2 + P_3}{n \sin \alpha_3} = - \frac{86130}{10,24} = - 8400 \text{ kg};$$

$$S_4^p = - \frac{P_1 + P_2 + P_3 + P_4}{n \sin \alpha_4} = - \frac{142373}{15,74} = - 9045 \text{ kg};$$

$$S_5^p = - \frac{P_1 + P_2 + P_3 + P_4 + P_5}{n \sin \alpha_5} = - \frac{212677}{20,61} = - 10319 \text{ kg}.$$

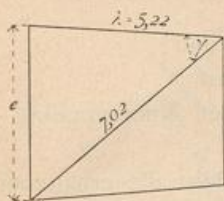
Die Ringspannungen, welche durch das Eigengewicht hervorgerufen werden, sind nach Gleichung 338:

Laternenring: $R_1^g = - 9913 \cdot 15,38 \cdot 0,16 = - 24396 \text{ kg};$
 2. Ring: $R_2^g = - (23980 \cdot 5,7 - 9913 \cdot 15,38) \cdot 0,16 = + 2524 \text{ kg};$
 3. Ring: $R_3^g = - (45080 \cdot 2,9 - 23980 \cdot 5,7) \cdot 0,16 = + 953 \text{ kg};$
 4. Ring: $R_4^g = - (73213 \cdot 1,77 - 45080 \cdot 2,9) \cdot 0,16 = + 183 \text{ kg};$
 5. Ring: $R_5^g = - (108381 \cdot 1,19 - 73213 \cdot 1,77) \cdot 0,16 = + 98 \text{ kg};$
 Mauerring: $R_6^g = 108381 \cdot 1,19 \cdot 0,16 = 20636 \text{ kg}.$

Die Maximal- und Minimalspannungen in den Ringen, durch zufällige Belastung erzeugt, betragen nach Gleichung 342:

Laternenring: $R_1^p \text{ min} = - 15826 \cdot 15,38 \cdot 0,16 = - 38932 \text{ kg}$ und $R_1^p \text{ max} = 0;$
 2. Ring: $R_2^p \text{ min} = - 28122 \cdot 5,7 \cdot 0,16 = - 25647 \text{ kg},$
 $R_2^p \text{ max} = 15826 (15,38 - 5,7) \cdot 0,16 = + 24514 \text{ kg};$

Fig. 337.



- 3. Ring: $R_2^{f_{min}} = -42182 \cdot 2,9 \cdot 0,16 = -19572 \text{ kg}$,
 $R_2^{f_{max}} = 43948 \cdot 2,8 \cdot 0,16 = +19689 \text{ kg}$;
- 4. Ring: $R_3^{f_{min}} = -56243 \cdot 1,77 \cdot 0,16 = -15926 \text{ kg}$,
 $R_3^{f_{max}} = 86130 \cdot 1,13 \cdot 0,16 = +15589 \text{ kg}$;
- 5. Ring: $R_4^{f_{min}} = -70304 \cdot 1,19 \cdot 0,16 = -13386 \text{ kg}$,
 $R_4^{f_{max}} = 142373 \cdot 0,58 \cdot 0,16 = +13212 \text{ kg}$;

Mauerring: $R_5^{f_{min}} = 0$ und $R_5^{f_{max}} = 212677 \cdot 1,19 \cdot 0,16 = +40494 \text{ kg}$.

Was schließlich die Spannungen in den Diagonalen betrifft, so braucht nur die am stärksten beanspruchte Diagonale berechnet zu werden, weil selbst diese noch sehr schwach wird. Gewöhnlich macht man dann alle Diagonalen gleich stark.

Die größte durch zufällige Belastung erzeugte Sparrenspannung ist durch die Diagonale zu übertragen (siehe Art. 243, S. 251); dieselbe ist $S_5^f = -10319 \text{ kg}$, und eine Diagonale hat demnach höchstens diese Kraft aufzunehmen. Die Spannung in den Diagonalen wird daher

$$Y_5 = \frac{10319 \cdot 7,02}{5,22} = 13877 \text{ kg}$$

fein.

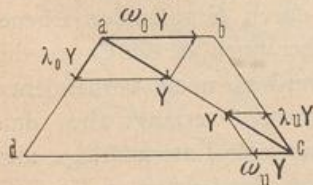
Man könnte noch für einige der oberen Diagonalen die Spannungen auffuchen, was nach dem Vorstehenden keine Schwierigkeit macht. Für die Querschnittsbestimmungen kann nun, wie bei den früheren Beispielen, eine Tabelle aufgestellt werden.

Bezeichnung des Stabes	P_0	P_1	Bezeichnung des Stabes	P_0	P_1	P_2
Sparren:			Ringe:			
S_1	-4766	-7608	R_1	-24396	-38932	0
S_2	-4346	-7966	R_2	+2524	+24514	-25647
S_3	-4402	-8400	R_3	+953	+19689	-19572
S_4	-4651	-9045	R_4	+183	+15589	-15926
S_5	-5258	-10319	R_5	+98	+13212	-13386
Diagonalen:			R_6	+20636	+40494	0
Y	0	13877				
	Kilogramm			Kilogramm		

2) Verfahren von Müller-Breslau.

In jedem durch zwei Sparren- und zwei Ringstäbe gebildeten Trapez des Kuppelflechtwerkes sei nur eine Diagonale vorhanden, welche sowohl Zug wie Druck aufnehmen kann. Handelt es sich um eine Construction mit gekreuzten Diagonalen, deren jede nur Zug aufnehmen kann, so nimmt man genau, wie in Art. 186 (S. 187) bei den Trägern mit Gegendiagonalen gezeigt ist, zunächst nur eine, die bei der betreffenden Belastung auf Zug beanspruchte, Diagonale als vorhanden an. Ergibt sich durch die Berechnung, dass diese Diagonale Druck erhält, so tritt an ihre Stelle die Gegendiagonale, und das Ergebnis kann durch eine Verbesserungsrechnung leicht richtig gestellt werden.

Fig. 338.



Die in der Diagonale ac auftretende Spannung Y (Fig. 338) wird in der Ebene des betreffenden Feldes in jedem der beiden Knotenpunkte in zwei Seitenkräfte zerlegt, welche bezw. in die Richtung des anschließenden Ringstabes und diejenige des anschließenden Sparrenstabes fallen. Diese Seitenkräfte stehen in ganz bestimmtem,

246.
Vor-
bemerkungen.

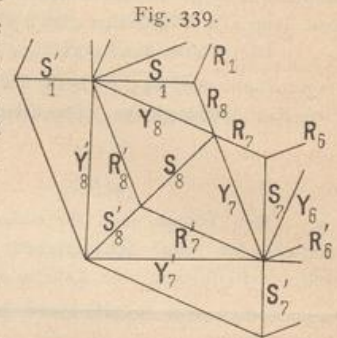
durch die Form des Trapezes vorgeschriebenem Verhältnifs zu Y . Im oberen Knotenpunkte a zerlegt sich Y in die Seitenkräfte:

- $\omega_0 Y$, welche in die Richtung des Ringstabes ab , und
- $\lambda_0 Y$, welche in die Richtung des Sparrenstabes ad

fällt. Eben so bezeichnen wir die Seitenkräfte von Y am unteren Knotenpunkte c mit $\omega_n Y$, bezw. $\lambda_n Y$.

Verfährt man in dieser Weise mit jeder Diagonale und addirt die erhaltenen Seitenkräfte zu den in den Ring-, bezw. Sparrenstäben wirkenden Spannungen $R_1, R_2 \dots, S_1, S_2 \dots$, so hat man bei den Untersuchungen, zunächst wenigstens, nur mit Kräften in den Ring- und Sparrenstäben zu thun; die Diagonale sind vorläufig ausgeschaltet. Die Summenspannungen in den Sparrenstäben sollen mit \mathfrak{S} , diejenigen in den Ringstäben mit \mathfrak{R} bezeichnet werden, wobei die Zeiger die gleichen sind, wie bei den mit lateinischen Buchstaben bezeichneten Spannungen. Demnach ist (Fig. 339)

$$\left. \begin{aligned} \mathfrak{S}_8 &= S_8 + \lambda_0 Y_8 + \lambda_0 Y_7 \\ \mathfrak{S}'_8 &= S'_8 + \lambda'_n Y'_8 + \lambda'_n Y'_7 \\ \mathfrak{R}_8 &= R_8 + \omega_0 Y_8 \\ \mathfrak{R}'_8 &= R'_8 + \omega_n Y_8 + \omega'_n Y'_8 \end{aligned} \right\} \dots 345.$$



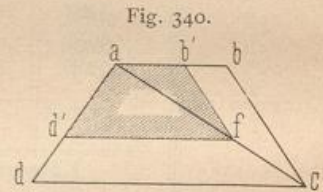
Die Werthe von ω und λ kann man leicht durch Rechnung oder Zeichnung finden; graphisch, indem man das Trapezfeld in wahrer Gröfse aufzeichnet, auf der Diagonale eine beliebige Länge für Y abträgt (etwa \overline{af} in Fig. 340) und das dem Felde ähnliche Trapez $ad'fb'$ mit \overline{af} als Diagonale konstruirt; alsdann sind seine Seiten:

$$ab' = \omega_n Y, \quad fd' = \omega_0 Y, \quad d'a = \lambda_0 Y$$

und

$$b'f = \lambda_n Y,$$

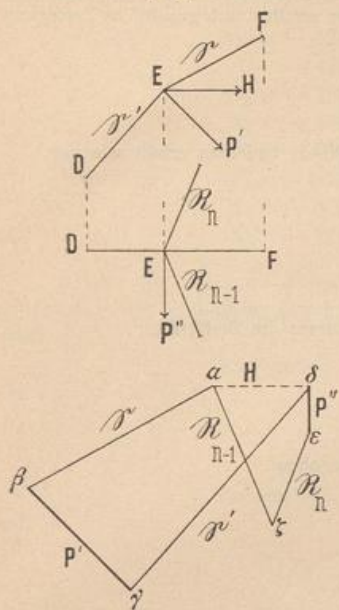
ω und λ haben in den Feldern der verschiedenen Zonen und allgemein auch in den Feldern derselben Zone verschiedene Werthe; diesem Umfande ist in Gleichung 345 durch die Zeiger Rechnung getragen.



247.
Ermittelung
der Stab-
spannungen.

Im Knotenpunkte E (Fig. 341) wirke eine äußere Kraft P in beliebiger Richtung. Man zerlegt P in eine Seitenkraft, welche in die lothrechte Ebene des betrachteten Sparrenzuges $DEF \dots$ fällt, die Kraft P' und in eine zu dieser Ebene senkrechte Seitenkraft P'' (in Fig. 341 im Grundrifs angegeben). Fig. 341 zeigt den Sparrenzug DEF im Grundrifs und Aufrifs. Die Aufrifsebene ist durch DEF gelegt. Auch weiterhin, insbesondere bei der Berechnung des Beispiels in Art. 248, soll jeder Sparrenzug vor der graphischen Zerlegung der Kräfte in die Zeichenebene gedreht werden, wodurch sich die Arbeit wesentlich vereinfacht. Im Punkte E halten einander nunmehr die Kräfte \mathfrak{S} , \mathfrak{S}' , P' und H im Gleichgewicht; H ist die Mittelkraft der im Punkte E wirkenden Ringstabspannungen \mathfrak{R}_n und \mathfrak{R}_{n-1} und der Seitenkraft P'' ; diese drei Kräfte wirken in einer wagrechten, durch E gehenden Ebene, also auch ihre Mittelkraft H . Diese Mittelkraft H muß aber auch in die Ebene des Sparrenzuges DEF fallen; denn die sämtlichen außerdem noch vorhandenen Kräfte \mathfrak{S} , \mathfrak{S}' und P' fallen in diese Ebene; das Gleichgewicht verlangt also, daß auch die letzte Kraft H in diese Ebene falle. Geht man nun vom Laternenringe aus, so ist für den obersten Punkt \mathfrak{S} gleich Null; mithin sind aus der bekannten Kraft P'

Fig. 341.



leicht durch Zerlegung H und \mathfrak{S}' zu finden. Im Grundriss kennt man jetzt H und P'' ; daher können auch hier die beiden fehlenden Kräfte (\mathfrak{R}_n und \mathfrak{R}_{n-1}) durch Construction eines Kraftpolygons gefunden werden. Bei den weiter unten folgenden Knotenpunkten ist aber \mathfrak{S} nach Vorstehendem bereits ermittelt, und man hat wiederum für jedes Kraftpolygon nur zwei Unbekannte.

In Fig. 341 ist $\overline{\alpha\beta} = \mathfrak{S}$ und $\overline{\beta\gamma} = P'$ durch vorherige Construction gefunden, bzw. gegeben; die zu \mathfrak{S}' und H gezogenen Parallelen vervollständigen das Kraftpolygon. Es ist $\gamma\delta = \mathfrak{S}'$ und $\delta\alpha = H$. An H ist nunmehr in δ die Kraft $P'' = \delta\varepsilon$ gelegt und da die Mittelkraft von H und P'' gleich derjenigen von \mathfrak{R}_{n-1} und \mathfrak{R}_n ist, so geben die durch α und ε gezogenen Parallelen zu \mathfrak{R}_{n-1} und \mathfrak{R}_n die Kräfte $\mathfrak{R}_n = \varepsilon\zeta$ und $\mathfrak{R}_{n-1} = \zeta\alpha$. Das Kraftpolygon $\alpha\zeta\varepsilon\delta\alpha$ gehört zum Grundriss; man kann aber beide Kraftpolygone, wie in Fig. 341 geschehen ist, vereinen, wobei man das

eine um die Linie $\alpha\delta$ in die Ebene des anderen gedreht denkt.

Aus den Werthen \mathfrak{S} , \mathfrak{R} , λ und ω können nun die Werthe S , R und Y ermittelt werden, indem man zunächst für die Knotenpunkte ohne Diagonalen die Werthe

für S und R auffucht und so eine Reihe von bekannten Gröfsen erhält, durch deren Einführung in die Gleichungen 345 alle Unbekannten bestimmbar werden.

Das vorgeführte Verfahren soll an einem Beispiele gezeigt werden.

Beispiel. Die in Fig. 342 im Grundriss und Aufriss dargestellte Kuppel über achteckiger Grundfläche, bei welcher der Durchmesser des umschriebenen Kreises 20m beträgt, sei links der lothrechten Schnittebene AA nur mit dem Eigengewicht, rechts von der Ebene AA voll belastet. Die Knotenpunktlasten betragen

248.
Beispiel.

durch Eigengewicht allein insgesamt
im Laternenring: $G_1 = 500 \text{ kg}$, $G_1 + P_1 = 1500 \text{ kg}$;
im mittleren Ring: $G_2 = 800 \text{ kg}$, $G_2 + P_2 = 2500 \text{ kg}$.

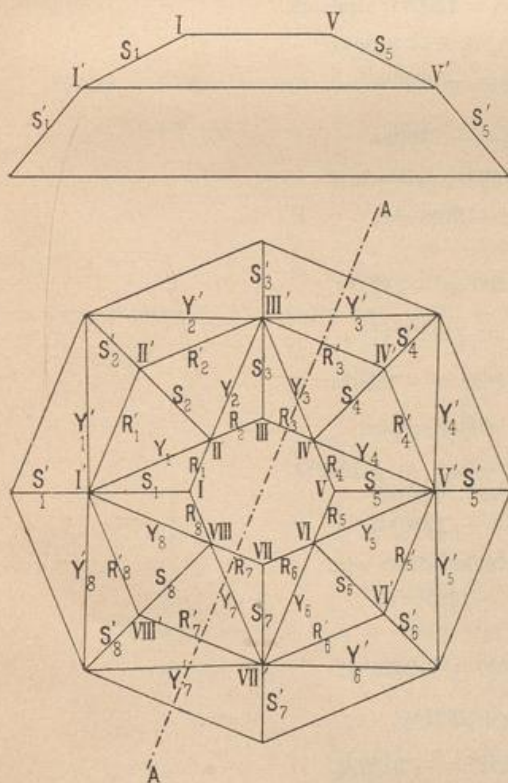
Die Lasten werden als lothrecht angenommen; die dieser Belastung entsprechenden Stabspannungen sind zu ermitteln.

Zunächst sind nach Fig. 340 die Zahlenwerthe für $\omega_0, \lambda_n, \omega_n, \lambda_n$ der oberen Felder und $\omega'_0, \lambda'_0, \omega'_n, \lambda'_n$ der unteren Felder ermittelt. Man erhält

$\omega_0 = 0,94,$	$\lambda_0 = 0,8,$
$\omega_n = 0,39,$	$\lambda_n = 0,8,$
$\omega'_0 = 0,96,$	$\lambda'_0 = 6,6,$
$\omega'_n = 0,67,$	$\lambda'_n = 0,6,$

Stäbe der oberen Felder. In den Knotenpunkten I, III, V, VII des Laternenringes

Fig. 342.



treffen nur je drei Stäbe zusammen; die Zerlegung wird ganz, wie in Art. 247 gezeigt ist, vorgenommen. In jedem der Knotenpunkte *I* und *III* wirkt die Last $G = 500 \text{ kg}$, und man erhält durch graphische Zerlegung

$$S_1 = S_3 = -1050 \text{ kg}$$

und

$$R_1 = R_8 = R_2 = R_3 = -1230 \text{ kg}.$$

In den Knotenpunkten *V* und *VII* wirkt die Belastung $G_1 + P_1 = 1500 \text{ kg}$, und man erhält wie vor

$$S_5 = S_7 = -3150 \text{ kg}$$

und

$$R_4 = R_5 = R_6 = R_7 = -3700 \text{ kg}.$$

Nunmehr sind die Knotenpunkte mit Diagonalen zu betrachten.

Knotenpunkt II. Es wirken: Knotenpunktlast $G_1 = 500 \text{ kg}$; ferner die Stabkräfte

$$\mathfrak{S}_2 = S_2 + \lambda_0 Y_1 + \lambda_0 Y_2,$$

$$\mathfrak{R}_1 = R_1 + \omega_0 Y_1,$$

$$\mathfrak{R}_2 = R_2 + \omega_0 Y_2.$$

Die graphische Zerlegung von G_1 in \mathfrak{S}_2 , \mathfrak{R}_1 und \mathfrak{R}_2 ergibt wie oben

$$\mathfrak{S}_2 = -1050 \text{ kg}$$

und

$$\mathfrak{R}_1 = \mathfrak{R}_2 = -1230 \text{ kg}.$$

Hieraus folgt

$$\omega_0 Y_1 = \mathfrak{R}_1 - R_1 = 0, \quad Y_1 = 0,$$

$$\omega_0 Y_2 = \mathfrak{R}_2 - R_2 = 0, \quad Y_2 = 0.$$

$$S_2 = \mathfrak{S}_2 = -1050 \text{ kg}.$$

Eben so ergibt sich durch Betrachtung des Knotenpunktes VI:

$$Y_6 = Y_5 = 0 \quad \text{und} \quad S_6 = -3150 \text{ kg}.$$

Knotenpunkt IV. Knotenpunktlast $G_1 + P_1 = 1500 \text{ kg}$; demnach

$$\mathfrak{S}_4 = S_4 + \lambda_0 Y_4 + \lambda_0 Y_3 = -3150 \text{ kg},$$

$$\mathfrak{R}_3 = R_3 + \omega_0 Y_3 = -3700 \text{ kg}$$

und

$$\mathfrak{R}_4 = R_4 + \omega_0 Y_4 = -3700 \text{ kg}.$$

Oben war gefunden: $R_3 = -1230 \text{ kg}$ und $R_4 = -3700 \text{ kg}$; demnach ist

$$\omega_0 Y_4 = -3700 + 3700 = 0,$$

$$Y_4 = 0;$$

$$\omega_0 Y_3 = -3700 + 1230 = -2470 \text{ kg},$$

$$Y_3 = -\frac{2470}{0,94} = -2627 \text{ kg};$$

$$S_4 = -3150 + 0,8 \cdot 2627 = -1050 \text{ kg}.$$

Knotenpunkt VIII. Knotenpunktlast $G_1 = 500 \text{ kg}$; mithin

$$\mathfrak{S}_8 = S_8 + \lambda_0 Y_8 + \lambda_0 Y_7 = -1050 \text{ kg},$$

$$\mathfrak{R}_8 = R_8 + \omega_0 Y_8 = -1230 \text{ kg},$$

$$\mathfrak{R}_7 = R_7 + \omega_0 Y_7 = -1230 \text{ kg}.$$

Oben ist gefunden: $R_8 = -1230 \text{ kg}$ und $R_7 = -3700 \text{ kg}$; daher wird

$$\omega_0 Y_8 = -1230 + 1230 = 0,$$

$$Y_8 = 0;$$

$$\omega_0 Y_7 = -1230 + 3700 = +2470 \text{ kg},$$

$$Y_7 = \frac{2470}{0,94} = +2627 \text{ kg};$$

$$S_8 = -1050 - 0,8 \cdot 2627 = -3150 \text{ kg}.$$

Demnach ist in den oberen Feldern

$$\begin{array}{lll}
 R_1 = -1230 \text{ kg}, & S_1 = -1050 \text{ kg}, & Y_1 = 0; \\
 R_2 = -1230 \text{ kg}, & S_2 = -1050 \text{ kg}, & Y_2 = 0; \\
 R_3 = -1230 \text{ kg}, & S_3 = -1050 \text{ kg}, & Y_3 = -2627 \text{ kg}; \\
 R_4 = -3700 \text{ kg}, & S_4 = -1050 \text{ kg}, & Y_4 = 0; \\
 R_5 = -3700 \text{ kg}, & S_5 = -3150 \text{ kg}, & Y_5 = 0; \\
 R_6 = -3700 \text{ kg}, & S_6 = -3150 \text{ kg}, & Y_6 = 0; \\
 R_7 = -3700 \text{ kg}, & S_7 = -3150 \text{ kg}, & Y_7 = +2627 \text{ kg}; \\
 R_8 = -1230 \text{ kg}, & S_8 = -3150 \text{ kg}, & Y_8 = 0.
 \end{array}$$

Stäbe der unteren Felder. In den Knotenpunkten II' , IV' , VI' , $VIII'$ setzen keine Diagonalen an. Die graphische Zerlegung erfolgt hier, genau wie in Art. 247 (S. 256) gezeigt ist. Man erhält

Knotenpunkt II' : $S_2 = -1050 \text{ kg}$, $G_2 = 800 \text{ kg}$

und

$$S_2' = -1700 \text{ kg};$$

$$R_1' = -150 \text{ kg} \text{ und } R_2' = -150 \text{ kg}.$$

Knotenpunkt $VIII'$: $S_8 = -3150 \text{ kg}$, $G_2 = 800 \text{ kg}$

und

$$S_8' = -2800 \text{ kg};$$

$$R_7' = +1350 \text{ kg} \text{ und } R_8' = +1350 \text{ kg}.$$

Knotenpunkt IV' : $S_4 = -1050 \text{ kg}$, $G_2 + P_2 = 2500 \text{ kg}$

und

$$S_4' = -3880 \text{ kg};$$

$$R_3' = -1950 \text{ kg} \text{ und } R_4' = -1950 \text{ kg}.$$

Knotenpunkt VI' : $S_6 = -3150 \text{ kg}$, $G_2 + P_2 = 2500 \text{ kg}$

und

$$S_6' = -5050 \text{ kg};$$

$$R_5' = -550 \text{ kg} \text{ und } R_6' = -550 \text{ kg}.$$

In den Knotenpunkten mit Diagonalen ergibt sich das Folgende.

Knotenpunkt I' : $S_1 = -1050 \text{ kg}$, $Y_1 = 0$, $Y_8 = 0$

und

$$G_2 = 800 \text{ kg};$$

$$\mathfrak{S}_1' = S_1' + \lambda_0' Y_1' + \lambda_0' Y_8' = -1700 \text{ kg},$$

$$\mathfrak{R}_1' = R_1' + \omega_0' Y_1' = -150 \text{ kg},$$

$$\mathfrak{R}_8' = R_8' + \omega_0' Y_8' = -150 \text{ kg}.$$

Oben war gefunden: $R_1' = -150 \text{ kg}$ und $R_8' = +1350 \text{ kg}$; demnach ist

$$\omega_0' Y_1' = -150 + 150 = 0$$

und

$$Y_1' = 0;$$

$$\omega_0' Y_8' = -150 - 1350 = -1500 \text{ kg},$$

$$Y_8' = -\frac{1500}{0,96} = -1560 \text{ kg};$$

$$S_1' = -1700 + 0,96 \cdot 1560 = -760 \text{ kg};$$

daher

$$Y_1' = 0 \text{ und } Y_8' = -1560 \text{ kg}.$$

Knotenpunkt V' : $S_5 = -3150 \text{ kg}$, $G_2 + P_2 = 2500 \text{ kg}$

und

$$Y_5 = Y_4 = 0;$$

$$\mathfrak{S}_5' = S_5' + \lambda_0' Y_4' + \lambda_0' Y_5' = -5050 \text{ kg},$$

$$\mathfrak{R}_4' = R_4' + \omega_0' Y_4' = -550 \text{ kg},$$

$$\mathfrak{R}_5' = R_5' + \omega_0' Y_5' = -550 \text{ kg}.$$

Oben war gefunden: $R_5' = -550$ kg; demnach $Y_5' = 0$;
 $R_4' = -1950$ kg;

also

$$\begin{aligned}\omega_0' Y_4' &= -550 + 1950 = +1400 \text{ kg,} \\ Y_4' &= \frac{1400}{0,96} = +1460 \text{ kg;} \\ S_5' &= -5050 - 0,6 \cdot 1460 = -5930 \text{ kg.}\end{aligned}$$

Knotenpunkt III': $\mathcal{E}_3 = -1050$ kg $+ \lambda_u Y_3 = -1050 - 0,8 \cdot 2627 = -3150$ kg,
 $G_2 = 800$ kg,

fomit

$$\begin{aligned}Y_2 &= 0 \text{ und } Y_3 = -2627 \text{ kg;} \\ \mathcal{E}_3' &= S_3' + \lambda_0' Y_2' + \lambda_0' Y_3' = -2800 \text{ kg,} \\ \mathfrak{R}_2' &= R_2' + \omega_u Y_2 + \omega_0' Y_2' = +1350 \text{ kg,} \\ \mathfrak{R}_3' &= R_3' + \omega_u Y_3 + \omega_0' Y_3' = +1350 \text{ kg.}\end{aligned}$$

Es ist

$$\omega_u Y_2 = 0$$

und

$$\omega_u Y_3 = -0,39 \cdot 2627 = -1025 \text{ kg.}$$

Oben war gefunden: $R_2' = -150$ kg und $R_3' = -1950$ kg; daher ist

$$\omega_0' Y_2' = 1350 + 150 = +1500 \text{ kg}$$

und

$$\begin{aligned}Y_2' &= \frac{1500}{0,96} = +1560 \text{ kg;} \\ \omega_0' Y_3' &= +1350 + 1950 + 1025 = +4325 \text{ kg,} \\ Y_3' &= \frac{4325}{0,96} = +4510 \text{ kg;} \\ S_3' + 0,6 \cdot 1560 + 0,6 \cdot 4510 &= -2800 \text{ kg,} \\ S_3' &= -6410 \text{ kg.}\end{aligned}$$

Knotenpunkt VII': $Y_6 = 0$, $Y_7 = 2627$ kg

und

$$G_2 + P_2 = 2500 \text{ kg;}$$

demnach

$$\begin{aligned}\mathcal{E}_7 &= S_7 + \lambda_u Y_6 + \lambda_u Y_7 = -3150 + 0,8 \cdot 2627 = -1050 \text{ kg,} \\ \mathcal{E}_7' &= S_7' + \lambda_0' Y_7' + \lambda_0' Y_6' = -3880 \text{ kg,} \\ \mathfrak{R}_6' &= R_6' + \omega_u Y_6 + \omega_0' Y_6' = -1950 \text{ kg,} \\ \mathfrak{R}_7' &= R_7' + \omega_u Y_7 + \omega_0' Y_7' = -1950 \text{ kg.}\end{aligned}$$

Oben ist gefunden: $R_6' = -550$ kg, $R_7' = +1350$ kg und $Y_7 = 2627$ kg; also

$$Y_7 = 0,39 \cdot 2627 = 1025 \text{ kg;}$$

fomit wird

$$\omega_0' Y_6' = -1950 + 550 = -1400 \text{ kg}$$

und

$$\begin{aligned}Y_6' &= -\frac{1400}{0,96} = -1460 \text{ kg;} \\ 1350 + 1025 + \omega_0' Y_7' &= -1950 \text{ kg,} \\ \omega_0 Y_7' &= -1950 - 2375 = -4325 \text{ kg,} \\ Y_7' &= -\frac{4325}{0,96} = -4510 \text{ kg;} \\ S_7' &= -3880 + 0,6 (4510 + 1460) = -300 \text{ kg.}\end{aligned}$$

Die Spannungen in den unteren Feldern sind daher:

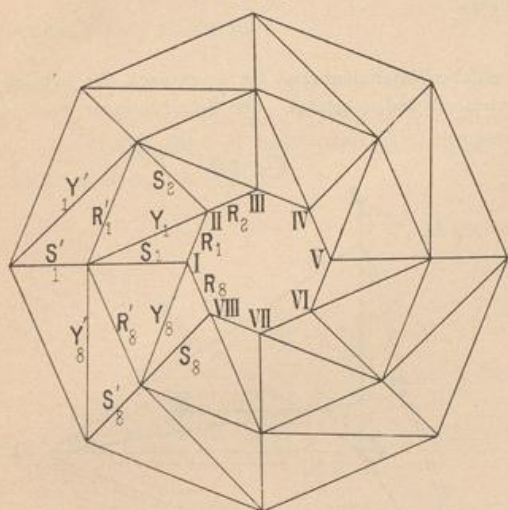
$R_1' = -150$ kg,	$S_1' = -760$ kg,	$Y_1' = 0$,
$R_2' = -150$ kg,	$S_2' = -1700$ kg,	$Y_2' = +1560$ kg,
$R_3' = -1950$ kg,	$S_3' = -6410$ kg,	$Y_3' = +4510$ kg,
$R_4' = -1950$ kg,	$S_4' = -3880$ kg,	$Y_4' = +1460$ kg,
$R_5' = -550$ kg,	$S_5' = -5930$ kg,	$Y_5' = 0$,
$R_6' = -550$ kg,	$S_6' = -5050$ kg,	$Y_6' = -1460$ kg,
$R_7' = +1350$ kg,	$S_7' = -300$ kg,	$Y_7' = -4510$ kg,
$R_8' = +1350$ kg,	$S_8' = -2800$ kg,	$Y_8' = -1560$ kg.

Die Spannungen im Fufsring können auf den gefundenen Werthen leicht ermittelt werden. Es wird empfohlen, von den 8 Auflagern eines um das andere als festes Auflager zu construiren.

Wenn kein Knotenpunkt ohne Diagonalen vorhanden ist, wenn z. B. die Anordnung nach Fig. 343 vorliegt, so ist die Ermittlung der Diagonalen-Spannungen auf gleichem Wege leicht durchführbar.

249.
Andere
Anordnung
der
Diagonalen.

Fig. 343.



Man zerlege die Knotenlast im Knotenpunkte I in die Stabkräfte

$$\begin{aligned} \mathfrak{R}_8 &= R_8 + \omega_0 Y_8, \\ \mathfrak{S}_1 &= S_1 + \lambda_0 Y_8 \quad \text{und} \quad R_1; \end{aligned}$$

ferner die im Knotenpunkte II wirkende Belastung in die Stabkräfte

$$\begin{aligned} \mathfrak{R}_1 &= R_1 + \omega_0 Y_1, \\ \mathfrak{S}_2 &= S_2 + \lambda_0 Y_1 \quad \text{und} \quad R_2. \end{aligned}$$

Man kennt also \mathfrak{R}_1 aus der Zerlegung am Knotenpunkt II, R_1 aus der Zerlegung am Knotenpunkte I; mithin kann man Y_1 aus der Gleichung

$$\omega_0 Y_1 = \mathfrak{R}_1 - R_1$$

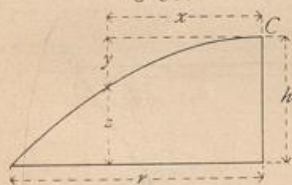
finden. In gleicher Weise ergeben sich alle Diagonalspannungen.

3) Erzeugende Kuppelcurve.

Die erzeugende Curve ist in den meisten Fällen eine Parabel (Fig. 344) der Gleichung $y = \frac{hx^2}{r^2}$, bei welcher der Anfangspunkt der Coordinaten im Scheitel C liegt, die halbe Spannweite gleich r , die Pfeilhöhe gleich h gesetzt ist, oder eine cubische Parabel der

250.
Parabel-
Kuppel.

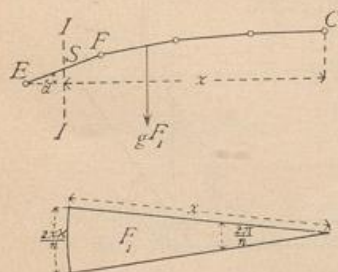
Fig. 344.



Gleichung $y = \frac{hx^3}{r^3}$. Letztere Curvenform hat den Vortheil, dass in den Zwischenringen bei gleichmäßig verteilter Belastung die Spannung Null herrscht und dass die Spannungen in den Sparren nahezu constant sind, was sich folgendermaßen ergibt.

Die Spannung im Sparrenstab EF (Fig. 345) ist durch Betrachtung des Theiles zwischen dem Scheitel C und dem durch die Sparrenmitte gelegten Schnitte II zu ermitteln. Die algebraische Summe der auf dieses Stück wirkenden lothrechten Kräfte ist gleich Null, daher, wenn die belastende Grundfläche mit F_1 und die Belastung für 1 qm der Grundfläche mit g bezeichnet wird, $S \sin \alpha = g F_1$. Nun ist

Fig. 345.



$$F_1 = \frac{x^2 \pi}{n}, \quad \text{mithin} \quad S \sin \alpha = \frac{g x^2 \pi}{n} = S \cos \alpha \operatorname{tg} \alpha.$$

Wird statt des Vieleckes die stetig gekrümmte Curve der Berechnung zu Grunde gelegt, so ist

$$y = \frac{hx^3}{r^3} \quad \text{und} \quad \operatorname{tg} \alpha = \frac{dy}{dx} = \frac{3hx^2}{r^3};$$

mithin

$$S \cos \alpha \frac{3hx^2}{r^3} = \frac{g x^2 \pi}{n}, \quad \text{woraus} \quad S \cos \alpha = \frac{g \pi r^3}{3n h}, \quad 346.$$

d. h. $S \cos \alpha$ ist constant. Da aber wegen der flachen Neigung der Kuppel der Winkel α sehr klein ist, so ändert sich auch $\cos \alpha$ sehr wenig; die Spannung ist daher im ganzen Sparren nahezu constant.

Betrachtet man nun einen Knotenpunkt E (Fig. 331) und setzt die algebraische Summe der in ihm wirkenden wagrechten Kräfte gleich Null, so wird

$0 = S_m \cos \alpha_m - S_{m-1} \cos \alpha_{m-1} - H_m$, woraus $H_m = S_m \cos \alpha_m - S_{m-1} \cos \alpha_{m-1} = 0$, da nach Gleichung 346 $S \cos \alpha$ constant ist. Die Ringspannung ist dann

$$R = \frac{H}{2 \sin \frac{\pi}{n}} = 0 \dots \dots \dots 347.$$

Die obigen Angaben sind damit bewiesen.

Noch möge bemerkt werden, daß der theoretische Materialaufwand bei einer nach der cubischen Parabel gekrümmten Kuppel nur $\frac{2}{3}$ desjenigen Materialaufwandes beträgt, der sich bei einer nach der gemeinen Parabel gekrümmten Kuppel ergibt.

4) Winddruck auf die Kuppel.

251.
Winddruck
auf die
Kuppel.

Bei steilen Kuppeln ist es nicht angängig, nur die lothrechte Komponente v des Winddruckes (vergl. Art. 30, S. 23) zu berücksichtigen; man muß in solchen Fällen die wirklich auf die Kuppel übertragenen Windkräfte kennen.

Der Winddruck gegen eine beliebige Ebene (Tangentenebene an die Kuppel) ergibt sich folgendermaßen (Fig. 346). Durch einen Punkt A im Raume werden drei Coordinatenachsen gelegt, welche senkrecht zu einander stehen; die X -Axe sei wagrecht und parallel zu der gleichfalls wagrecht angenommenen Windrichtung gelegt. Im Punkte P der Ebene wird die Normale \overline{PN} errichtet, außerdem die Linie PW parallel zur Windrichtung gezogen. Die durch \overline{PN} und PW gelegte Ebene schneide die gegebene Ebene in der Linie \overline{TT} ; der Winkel WPT werde φ genannt. Alsdann ist nach Art. 29 (S. 22) der Winddruck auf die Flächeneinheit der Ebene

$$n = p \sin \varphi = p \cos \psi;$$

n ist normal zur Ebene gerichtet.

Die Coordinaten eines beliebigen Punktes P der Kuppelfläche seien x, y, z (Fig. 347); die X -Axe liege parallel zur Windrichtung. Der Normalschnitt mit der Fläche, welcher im Punkte P durch die Normale PN und PW geht, habe den Krümmungshalbmesser ρ und den Krümmungsmittelpunkt O mit den Coordinaten a, b, c . Die Coordinaten des

Fig. 346.

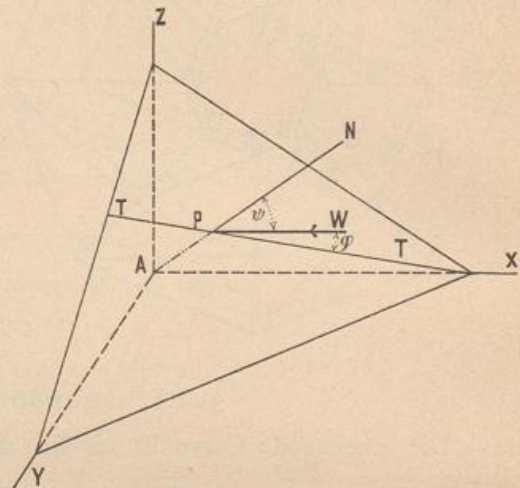
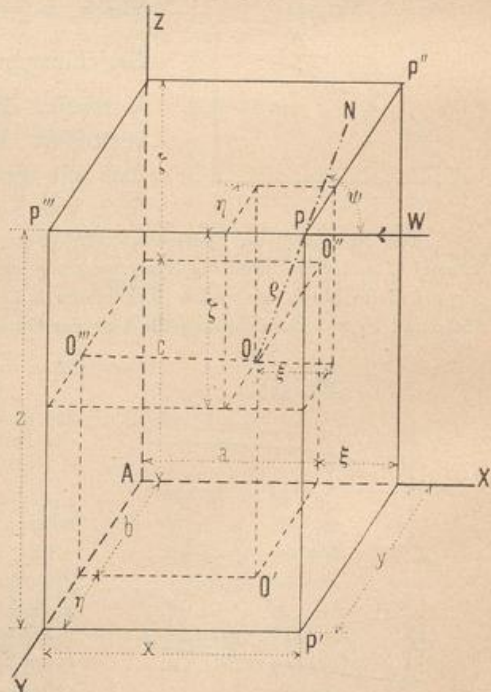


Fig. 347.



Punktes P , bezogen auf den Punkt O , seien ξ, η, ζ ; endlich bilde die Normale und der Krümmungshalbmesser \overline{OP} mit den Coordinaten-Axen die Winkel bzw. α, β, γ . Alsdann ist nach Fig. 347

$$\cos \alpha = \frac{\xi}{\rho}, \quad \cos \beta = \frac{\eta}{\rho}, \quad \cos \gamma = \frac{\zeta}{\rho};$$

ferner $\psi = \alpha$, also hier

$$n = p \cdot \cos \alpha = p \frac{\xi}{\rho}.$$

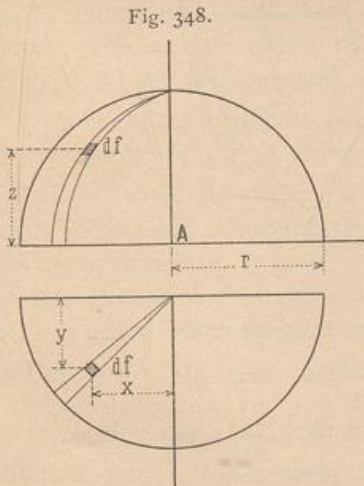
Zerlegt man n nach den Richtungen der Coordinaten-Axen, so erhält man als Seitenkräfte von n

$$\left. \begin{aligned} n_x &= n \cos \alpha = p \frac{\xi^2}{\rho^2} \\ n_y &= n \cos \beta = p \frac{\xi \eta}{\rho^2} \\ n_z &= n \cos \gamma = p \frac{\xi \zeta}{\rho^2} \end{aligned} \right\} \dots \dots \dots 348.$$

und, da $\xi = x - a, \quad \eta = y - b \quad \text{und} \quad \zeta = z - c$ ist,

$$\left. \begin{aligned} n_x &= \frac{p}{\rho^2} (x - a)^2 \\ n_y &= \frac{p}{\rho^2} (x - a)(y - b) \\ n_z &= \frac{p}{\rho^2} (x - a)(z - c) \end{aligned} \right\} \dots \dots \dots 349.$$

Die Gleichungen 348 u. 349 geben die Seitenkräfte des Winddruckes an einem beliebigen Punkte P der Kuppelfläche, bezogen auf die Flächeneinheit, ausgedrückt in den Coordinaten des Punktes P und des Krümmungsmittelpunktes des in Betracht kommenden Normalschnittes, so wie dem betreffenden Krümmungshalbmesser ρ . Durch Integration können die auftretenden Winddrücke ermittelt werden.



Um den auf einen Knotenpunkt des Kuppelfachwerkes entfallenden Winddruck zu ermitteln, genügt es, die GröÙe n desselben für die Flächeneinheit im Knotenpunkte selbst zu ermitteln und dieses n mit dem Inhalt der Kuppelfläche zu multipliciren, welche diesem Knotenpunkte zugewiesen ist. Ist die Abcisse des betreffenden Knotenpunktes x , so ist

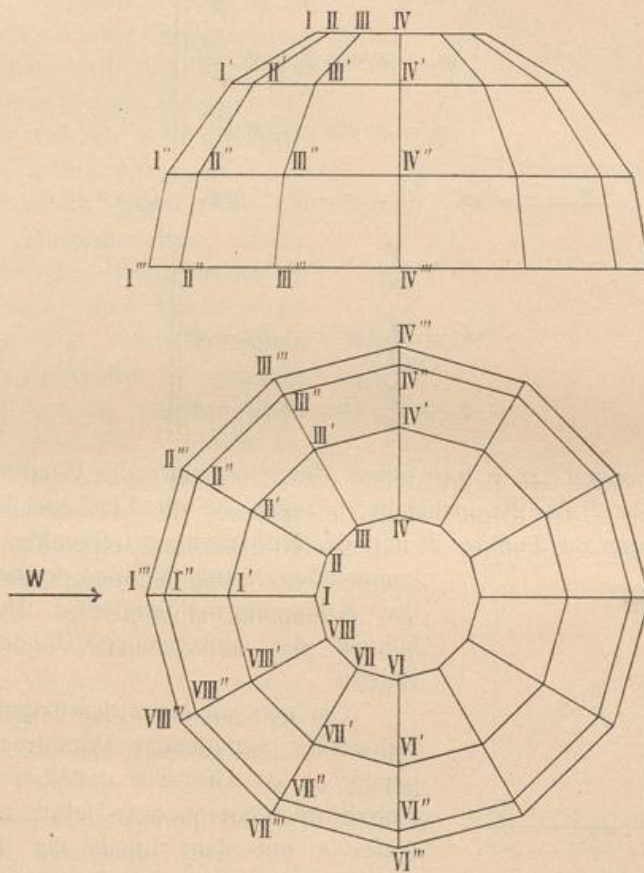
$$n = p \frac{(x - a)}{\rho}$$

Für die Kugelkuppel (Fig. 348) sind alle Normalschnitte gröÙte Kreise der Kugel; alle ρ sind gleich dem Kugelhalbmesser r . Wählt man den Mittelpunkt der Kuppel als Anfangspunkt der Coordinatenaxen, so werden $a = b = c = 0$, und es werden

$$\left. \begin{aligned} n &= \rho \frac{x}{r} \\ n_x &= \frac{\rho}{r^2} x^2 \\ n_y &= \frac{\rho}{r^2} (xy) \\ n_z &= \frac{\rho}{r^2} (xz) \end{aligned} \right\} \dots \dots \dots 350.$$

Beispiel. Für das in Fig. 349 dargestellte, einer Halbkugelkuppel eingeschriebene Polyeder über einem Zwölfeck sei $r = 10$ m, der Wind komme von links. Dann sind die Werthe von n für die bezeichneten Punkte wie in nachstehender Tabelle angegeben (für $\rho = 120$ kg für 1 qcm):

Fig. 349.



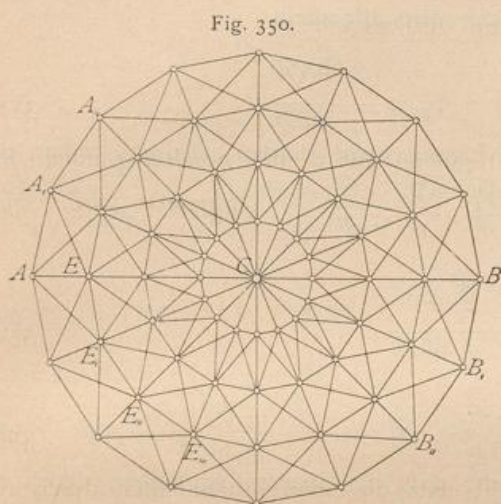
Punkt I	I'	I''	I'''	Punkt II	II'	II''	II'''
$\frac{x}{r} = 0,32$	0,71	0,94	1	$\frac{x}{r} = 0,29$	0,62	0,82	0,88
$n = \frac{\rho x}{r} = 38$	85	113	120 kg	$n = \frac{\rho x}{r} = 35$	74	98	106 kg.
		Punkt III	III'	III''	III'''		
		$\frac{x}{r} = 0,17$	0,36	0,47	0,5		
		$n = \frac{\rho x}{r} = 20$	43	56	60 kg.		

Danach kann man leicht die auf die einzelnen Knotenpunkte entfallenden, senkrecht zur Kuppeloberfläche gerichteten Winddrücke berechnen. Näher ist auf diesen Gegenstand in der unten genannten Abhandlung des Verf.³⁷⁾ eingegangen.

b) Flache Zeldächer.

Die Zeldächer bilden Pyramiden, in den meisten Fällen regelmässige Pyramiden. Man kann sie aus einer Anzahl radial gestellter Binder, welche unter die sog. Grate kommen, construiren; alsdann wird die Berechnung eines jeden Binders unter Zugrundelegung der auf ihn entfallenden Belastungen so vorgenommen, wie bei den Balkendächern gezeigt ist. Neuerdings legt man auch bei den Zeldächern — zumal den flachen — alle Constructionstheile in die Dachflächen, wie bei den Schwedler'schen Kuppeln, so dass sich eine entsprechende Construction ergibt. In diesem Falle

252.
Zeldächer.



(Fig. 350) werden eine Anzahl Binder-sparren $AC, A_1C, A_2C, A_3C, A_4C, A_5C, A_6C, A_7C, A_8C, A_9C, A_{10}C, \dots$ angeordnet; zwischen denselben befinden sich wagrechte Ringe $E, E_1, E_2, E_3, E_4, E_5, E_6, E_7, E_8, E_9, E_{10}, \dots$ und in den viereckigen Feldern der Dachflächen, wegen der ungleichmässigen Belastungen, Diagonalen. Auch hier wird oft in der Dachmitte eine Laterne angeordnet, welche sich auf einen Laternenring stützt, gegen den sich die oberen Sparrenenden lehnen. Wir werden hier nur die der Kuppelconstruction entsprechende Anordnung betrachten. Obgleich die grössere oder geringere Neigung der Dachflächen keinen grundlegenden Unterschied bedingt, sollen die Zeldächer dennoch in flache und steile Zeldächer eingetheilt werden, weil bei den ersteren die Belastung durch Schnee, bei den letzteren diejenige durch Wind die maassgebende zufällige Belastung ist.

Zu den flachen Zeldächern gehören die Circus- und Theaterdächer, die Dächer über Panoramen, Locomotivschuppen etc., zu den steilen hauptsächlich die Thurmdächer.

Die flachen Zeldächer der vorgeschriebenen Anordnung sind weiter nichts, als Kuppeldächer mit gleichem Neigungswinkel α in der ganzen Dachfläche. Man erhält also unter denselben Voraussetzungen für die Belastungen, wie in Art. 243 (S. 248) die hier geltenden Stabkräfte, indem man in die dort gefundenen Werthe statt der veränderlichen Winkelwerthe $\alpha_{m-1}, \alpha_m, \alpha_{m+1}, \dots$ den constanten Winkelwerth α einsetzt.

Spannungen in den Sparren. Wiederum mögen $G_1, G_2, \dots, G_m, \dots$ die Eigengewichte der ganzen Ringzonen, $P_1, P_2, \dots, P_m, \dots$ die zufälligen Belastungen derselben sein; alsdann sind, falls n Sparren vorhanden sind, die Belastungen der einzelnen Knotenpunkte bezw. $\frac{G_1}{n}, \frac{G_2}{n}, \dots, \frac{G_m}{n}, \dots$ und $\frac{P_1}{n}, \frac{P_2}{n}, \dots, \frac{P_m}{n}, \dots$

253.
Berechnung
der Stab-
spannungen.

³⁷⁾ Winddruck auf Kuppeln. Centralbl. d. Bauverw. 1898, S. 217.